

บทที่ 2

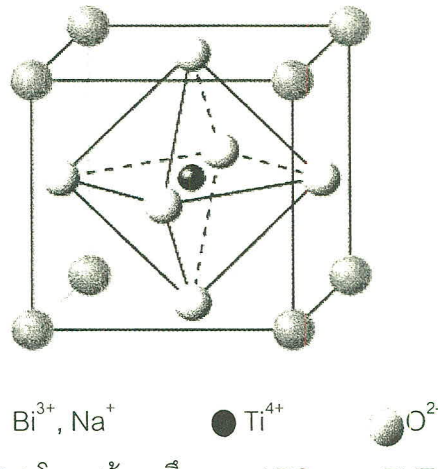
ทฤษฎีและวิธีการผลิตไบโอนาโนเมต์

2.1 เซรามิกบิสมัทไบเดียมไทดีบันไดเทเนต

บิสมัทโซเดียมไทดีบันได (Bi_{0.5}Na_{0.5}TiO₃ หรือ BNT) จัดว่าเป็นสารเฟริโอเล็กทริกที่มีสมบัติเพียบใชอิเล็กทริกที่ดีที่สุดตัวหนึ่งในหมู่สารประกอบที่ไม่มีตะกั่ว มีโครงสร้างเป็นแบบเพอร์อฟไกต์ (perovskite) และมีอุณหภูมิคริว 320°C [18] มีสูตรโครงสร้างทั่วไปเป็นแบบ ABO₃ ค่า Remanent Polarization (P_r) เท่ากับ 38 $\mu\text{C}/\text{cm}^2$ และ coercive field (E_c) ที่อุณหภูมิห้องมีค่าเท่ากับ 73 kV/cm และพบว่ามีการเปลี่ยนแปลงระบบผลึกตามอุณหภูมิที่เปลี่ยนไป ณ อุณหภูมิห้อง ระบบผลึกของ BNT เป็น Rhombohedral ซึ่งมีสมบัติทางไฟฟ้าเป็นเฟริโอเล็กทริก เมื่ออุณหภูมิสูงขึ้นระบบผลึกจะเปลี่ยนไปเป็น Tetragonal และ Cubic ตามลำดับ ซึ่งจะมีผลกระทบต่อสมบัติทางไฟฟ้าเช่นกัน โดยจะเปลี่ยนไปเป็นแอนติเฟริโอเล็กทริก (antiferroelectric) และพาราอิเล็กทริก (paraelectric) ตามลำดับ ระบบผลึกของ BNT ที่เปลี่ยนแปลงตามอุณหภูมิดังแสดงในตาราง 2.1

ตาราง 2.1 พารามิเตอร์ของแลคทิชของโครงสร้างผลึก 3 แบบของสาร BNT

Temperature (°C)	Symmetry	Parameter (nm)	Volume (nm ³)
600	Cubic	$a = 0.39128$	0.05990
400	Tetragonal	$a = 0.39004$ $c = 0.39057$	0.05942
200	Rhombohedral (pseudocubic)	$a = 0.38911$ $\alpha = 90^\circ$	0.05891
20	Rhombohedral	$a = 0.38848$ $\alpha = 89^\circ 54'$	0.05863



รูป 2.1 โครงสร้างผลึกแบบ ABO_3 ของ BNT

BNT มีโครงสร้างผลึกแบบเพอร์โวฟสไกท์ที่มีความซับซ้อน (complex perovskite) มีสูตรโมเลกุลเป็น ABO_3 โดยที่ตำแหน่ง A ประกอบด้วยอะตอม Bi^{3+} หรือ Na^+ ซึ่งอยู่ที่มุมของสี่เหลี่ยมลูกบาศก์ ตำแหน่ง B ประกอบด้วยอะตอม Ti^{4+} ซึ่งอยู่ตรงกลางของยูนิตเซลล์ และมี O^{2-} อยู่ที่กลางของแต่ละหน้าของยูนิตเซลล์ ดังรูป 2.1

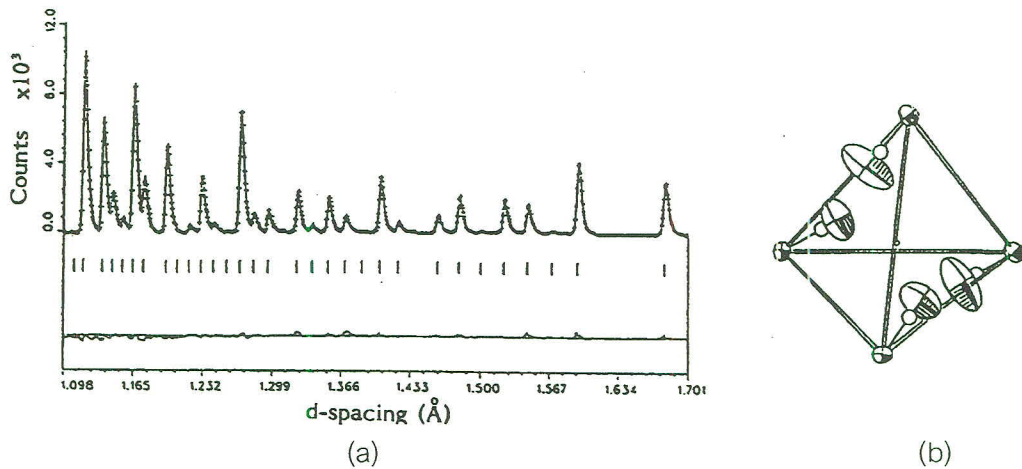
เมื่ออยู่ในสถานไฟฟ้า Ti^{4+} จะเคลื่อนที่ไปยังตำแหน่งใหม่ตามทิศทางของสถานไฟฟ้าที่ให้ เนื่องจากผลึกมีการเรียงตัวแบบสุ่ม (randomly orientation) และไออกอนถูกบังคับให้เคลื่อนที่เฉพาะทิศทางในยูนิตเซลล์ การเคลื่อนที่ของไออกอนจะมีลักษณะคล้ายคลึงกับการจัดเรียงตัวโดยสถานไฟฟ้าอย่างไรก็ตาม เมื่อการเคลื่อนที่นี้เกิดขึ้นจะทำให้เกิดการเปลี่ยนแปลงของขนาดยูนิตเซลล์ โดยในตอนแรกการจัดเรียงตัวของไมเมนต์จะเป็นแบบสุ่ม ซึ่งสามารถปรับได้โดยการเผาสุดท่ออุณหภูมิสูงกว่าอุณหภูมิคริวี

ท่ออุณหภูมิต่างกว่าอุณหภูมิคริวี BNT จะมีเฟสเป็นสารเฟริโอเล็กทริกเนื่องจากมีโพลาไรเซชันทางไฟฟ้าในตัวเองและสามารถเปลี่ยนแปลงไปตามอุณหภูมิ โดยพบว่าไออกอนบางและไออกอนลบในสารจะมีการเคลื่อนที่ไปเล็กน้อยเมื่อเทียบกับตำแหน่งของอกรูเจนไออกอน ทำให้เกิดโพลาไรเซชันขึ้นในตัวเอง ดังนั้นไออกอนบางและไออกอนลบในสารจะมีการเคลื่อนที่ไปในทิศทางตรงข้ามจึงทำให้เกิดไดโพลไมเมนต์อย่างถาวร แต่ถ้าอุณหภูมิมากกว่าอุณหภูมิคริวี บิสมัสโซเดียมไทเทเนตจะมีเฟสเป็นคิวบิกและมีสมบัติพาราอิเล็กทริก ซึ่งอุณหภูมิคริวีของ BNT มีค่าประมาณ 320°C

การปรับปรุงคุณสมบัติเซรามิก BNT ให้ดีขึ้นโดยการเติมสารชนิดอื่นที่เรียกว่า สารเจือ (dopant) ลงไปในลattice ของวัสดุ โดยสารเจือจะเข้าไปรวมเป็นเนื้อเดียวกับสารแม่ (matrix) สารเจือมีทั้งชนิดเป็นสารละลายของแข็ง (solid solutions) เช่น BaTiO_3 , PbTiO_3 , PbZrO_3 , $\text{Ba}(\text{Ti},\text{Zr})\text{O}_3$ และ KNbO_3 เป็นต้น ทำให้ค่าคงที่ไดอิเล็กทริกเพิ่มขึ้น สมบัติทางไฟฟ้าดีขึ้น แต่เนื่องจากความซับซ้อนในการกระบวนการเตรียมเซรามิก การปรับปรุงเซรามิก BNT อีกวิธีการคือสารเจือที่เป็นหมู่โลหะของไอโอนบวก เช่น K^+ , La^{3+} , Ba^+ , Fe^{3+} , Mn^{4+} , Dy^{3+} และ Zr^{4+} เข้าไปแทนที่ในตำแหน่งของไทเทเนียม Ti^{4+} ในสาร BNT การแทนที่ของไอโอนบวกในตำแหน่งของไทเทเนียมจะส่งผลต่อเซรามิก BNT ต่างกันขึ้นอยู่กับประจุของไอโอนบวกที่เจือเข้าไป กล่าวคือเมื่อไอโอนบวกที่เจือลงไประจุต่ำกว่าประจุของไทเทเนียม(Ti^{4+}) พบร่วมกับการเปลี่ยนตัวรับอิเล็กตรอน (acceptors) ซึ่งจะทำให้ค่าสภาพด้านทานไฟฟ้าสูง และสามารถเผาซินเทอร์เซรามิกในบรรยากาศที่มีออกซิเจนต่ำได้ และเมื่อเจือสารที่มีไอโอนบวกสูงกว่าประจุของไทเทเนียม (Ti^{4+}) จะช่วยระงับการเกิดซ่องว่างของออกซิเจน และลดซ่องบกพร่องที่เกิดจากอะตอมของบิสมัท

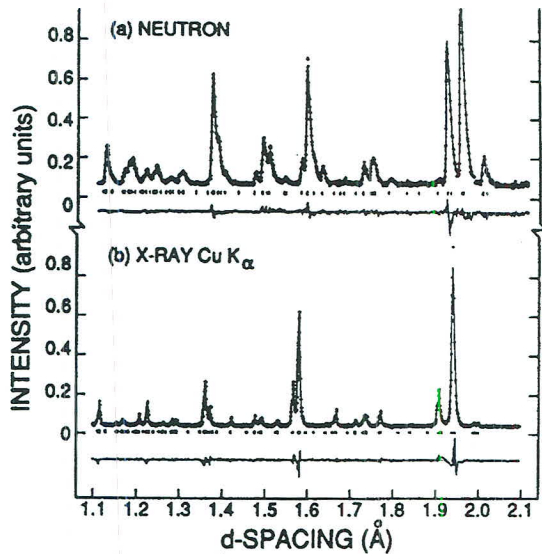
2.2 วิธีเรียบทเวล็ด

การวิเคราะห์โครงสร้างผลึกแบบเรียบทเวล็ดหรือที่เรียกว่า Rietveld Analysis นั้นเป็นวิธีการวิเคราะห์โครงสร้างผลึกโดยอาศัยโปรแกรมคอมพิวเตอร์ในการเทียบ(fitting) ข้อมูลที่ได้จากการคำนวณ และข้อมูลที่ได้จากการทดลอง ซึ่งโปรแกรมดังกล่าวนั้นได้ถูกสร้างขึ้นโดย Hugo M. Rietveld [1,2] ใน การวิเคราะห์แผนภาพเลี้ยวเบนของนิวตรอน (neutron diffraction) ที่ได้จากการ หังนี้เนื่องจากผลึกของวัสดุที่ Rietveld สนใจไม่สามารถปลูกเป็นผลึกขนาดใหญ่ ตัวอย่างของแผนภาพการเลี้ยวเบนของนิวตรอน (neutron diffraction pattern) ถูกแสดงไว้ในรูป 2.2(a) จากรูปเป็นการเก็บข้อมูลของ $\text{Ca}_3\text{Al}_2(\text{O}_4\text{D}_4)_3$ สำหรับ TOF (time-of-flight) neutron [3] ซึ่งข้อมูลดิบที่นำมาเขียนกราฟถูกระบุไว้ด้วยเครื่องหมาย + และเส้นทึบที่ลากผ่านจุดเหล่านี้ ได้มาจากการคำนวณจากโปรแกรม Rietveld สำหรับเส้นในแนวตั้งระบุถึงตำแหน่งที่สามารถเกิดการเลี้ยวเบนได้ (diffraction peaks) และเส้นแนวนอนที่อยู่ข้างล่างสุดของกราฟเป็นการระบุถึงความแตกต่างระหว่างเส้นที่คำนวณกับข้อมูลจริงที่วัดได้ เห็นได้ชัดว่า ในกรณีนี้ เส้นที่ได้จากการคำนวณสามารถเทียบได้กับข้อมูลจริงได้เกือบ_r้อยเปอร์เซ็นต์ หลังจากที่ทำการวิเคราะห์แล้ว สิ่งหนึ่งที่ได้มานาคือ โครงสร้างผลึกและตำแหน่งของอะตอม ดังในรูป 2.2(b) ซึ่งแสดงให้เห็นการสันของอะตอมในทิศทางที่ทำให้เกิดรูปของวงรีขึ้น ทั้งนี้ขึ้นอยู่กับขนาดของซ่องว่างและรูปร่างของซ่องว่างที่จะสามารถทำให้อะตอมเกิดการเคลื่อนที่ได้



รูป 2.2 (a) การวิเคราะห์แผนภาพเลี้ยวเบนของนิวตรอนด้วยวิธี Rietveld สำหรับ $\text{Ca}_3\text{Al}_2(\text{O}_4\text{D}_4)_3$ และ (b) การจัดเรียงตัวอะตอมภายในผลึก [3]

อย่างไรก็ตาม การใช้นุภาคนิวตรอนในการวิเคราะห์จำเป็นจะต้องสังขันงานไปวิเคราะห์ในแหล่งที่มีเครื่องปฏิกรณ์ปรมาณู (nuclear reactor) ซึ่งเป็นเรื่องที่ค่อนข้างจะยุ่งยากพอสมควรเมื่อเทียบกับการวิเคราะห์สาร โดยวิธี X-ray diffraction เนื่องจากในปัจจุบัน เครื่อง X-ray diffractometer มีจำนวนทั่วไป และในประเทศไทยมีสถาบันแห่งรวมทั้งมหาวิทยาลัยเชียงใหม่ได้ให้บริการ วิเคราะห์สารด้วยวิธีนี้ สำหรับความแตกต่างระหว่างแผนภาพของการเลี้ยวเบนของนิวตรอนและแผนภาพการเลี้ยวเบนของรังสีเอกซ์มีข้อแตกต่างอยู่บ้าง ทั้งนี้เนื่องมาจากค่าการกระจาย (scattering factor) ที่ต่างกันนั่นเอง ตัวอย่างแผนภาพที่แสดงให้เห็นถึงความแตกต่างระหว่างกรณีของนิวตรอนและรังสีเอกซ์ถูกแสดงให้เห็นในรูป 2.3 ผังเกตได้ว่า จำนวนของพีคและลักษณะของพีค มีความแตกต่างกันอยู่พอสมควร แต่เมื่อดูจากลักษณะการเทียบระหว่างเส้นที่ได้จากการคำนวณและข้อมูล (สัญลักษณ์ +) ที่ได้จากการทดลองถือได้ว่าสามารถนำมาใช้ได้ทั้งสองกรณี แต่เนื่องจากลักษณะพีคที่แตกต่างกัน สมการที่เกี่ยวข้องกับเส้นกราฟที่ได้จากการคำนวณจะต้องมีความแตกต่างกัน ในที่นี้จะพูดถึงกรณีของข้อมูลที่ได้จากการวิเคราะห์สารด้วยรังสีเอกซ์เท่านั้น เนื่องจากจะเป็นวิธีหลักที่ใช้ในการวิจัยของโครงการนี้



รูป 2.3 ความแตกต่างระหว่างแผนภาพการเลี้ยวเบนของ (a) นิวตรอน และ (b) รังสีเอกซ์ [4]

สำหรับสมการที่ใช้ในการวิเคราะห์ข้อมูลจากการวิเคราะห์ผลด้วยการเลี้ยวเบนของรังสีเอกซ์ ได้ถูกปรับปรุงจากในกรณีของการเลี้ยวเบนของนิวตรอนโดยข้อมูลที่ได้จากการคำนวณของแต่ละจุด เพื่อใช้ลักษณะเด่นที่บันทึกในรูป 2.1 และ 2.2 ได้มาจากการคำนวณ (2.1)

$$y_{ci} = s \sum_K L_K |F_K|^2 \phi(2\theta_i - 2\theta_K) P_K A + y_{bi} \quad (2.1)$$

โดย y_{ci} คือความเข้มที่คำนวณได้ (calculated intensity) และข้อมูลที่เกี่ยวข้องกับโครงสร้างผลลัพธ์ของสารที่ต้องการวิเคราะห์ได้ถูกรวมไว้ภายใต้ตัวแปรที่สามารถเปลี่ยนค่าได้จนกระทั่งเส้นที่ได้จากการคำนวณสามารถเลียนแบบข้อมูลจริงได้ใกล้เคียงที่สุด สำหรับตัวแปรที่เกี่ยวข้องมีรายละเอียดดังนี้ s คือ scale factor ที่เป็นตัวแปรและถูกใช้ในกรณีสารที่วิเคราะห์มีสารอื่นเจือปนทำให้สามารถคำนวณหาปริมาณสัมพัทธ์ของแต่ละเพสได้ L_K รวม Lorentz, polarization และ multiplicity factors ซึ่ง ในโครงสร้างผลลัพธ์แต่ละแบบจะมีค่าไม่เท่ากัน $|F_K|$ คือ structure factor สำหรับ K^{th} Bragg reflection นั้นคือเป็นตัวแปรที่เกิดจากชนิดของอะตอมและตำแหน่งการจัดวางของอะตอมภายในผลลัพธ์ ซึ่งจะส่งผลอย่างมากต่อความเข้มของพีค $\phi(2\theta_i - 2\theta_K)$ คือ reflection profile function ที่จะมีผลต่อรูปร่างของพีคแต่ละพีคว่าจะมีความสมมาตรเพียงใดโดยปกติจะเป็นฟังก์ชันที่ใช้ในการ

วัดกราฟอยู่แล้ว เช่น pseudo-Voigt หรือ Pearson VII functions เป็นต้น P_K คือ preferred orientation factor สำหรับตัวแปรนี้จะมีถูกใช้ในกรณีที่ผงถูกบดให้ละเอียดจนสามารถประมาณได้ค่า มีลักษณะเป็นทรงกลมแต่ถ้าสารที่วิเคราะห์มีลักษณะเป็นแผ่นจำเป็นจะต้องปรับตัวแปรนี้ในโปรแกรม ด้วย A คือ absorption factor ทั้งนี้เนื่องจากเฟสแต่ละเฟสในสารที่ใช้วิเคราะห์มีความสามารถดูดซับรังสีเอกซ์ไม่เท่ากัน จึงอาจจะต้องมีการปรับค่าตัวแปรนี้ในการคำนวณด้วย และสุดท้ายคือ y_{bi} คือ background function ที่ตามปกติอาจใช้พิงก์ชัน polynomial หลายๆ เทอมหรือพิงก์ชันทางตรีgonometric หลายเทอมเพื่อใช้ในการเทียบกับข้อมูลตรงบริเวณฐานของพีคและตรงตำแหน่งที่ไม่มีพีคอยู่ [5]

เมื่อคำนวณความเข้มของแต่ละจุดได้แล้ว การคำนวณจะดำเนินไปและตัวแปรในสมการ (2.1) จะเปลี่ยนไปเรื่อยๆ จนกว่า ค่า residual (R) ในสมการ (2.2) จะมีค่าน้อยที่สุด จากการทำ least-square fit

$$R = \sum_i w_i (y_i - y_{ci})^2 \quad (2.2)$$

โดย $w_i = 1/y_i$ เป็นค่า weight ของการคำนวณแต่ละจุด y_i คือ ความเข้มของจุด i ในข้อมูลจากการทดลองและ y_{ci} คือ ความเข้มของจุด i จากการคำนวณ เมื่อค่า R นิค่าน้อยที่สุดแล้วจะมีตัวบ่งชี้อยู่สองถึงสามแบบที่สามารถนำมาระบุว่าสีนกราฟที่ได้จากการคำนวณสามารถเทียบได้ใกล้เคียงกับ ข้อมูลจริงมากแค่ไหน ตัวบ่งชี้แบบหนึ่งที่นิยมนำมาใช้เรียกว่า R -weighted pattern หรือ R_{wp} ดังแสดง ในสมการ (2.3)

$$R_{wp} = \left[\frac{\sum_i w_i (y_i - y_{ci})^2}{\sum_i w_i (y_i)^2} \right]^{1/2} \quad (2.3)$$

ตามปกติถ้า Rietveld analysis ให้ค่า R_{wp} ประมาณ 10% หรือต่ำกว่าถือว่าวิเคราะห์มีความแม่นยำสูงและโครงสร้างผลลัพธ์ที่ได้จะมีความน่าเชื่อถือแตกในบางกรณีโดยเฉพาะกรณีของแร่ตัวอย่าง จากในดินจะมีจำนวนพีคและพีคที่ซ้อนกัน (overlapped peaks) อยู่มาก ทำให้การคำนวณยุ่งยากพอสมควรและอาจจะให้ค่า R_{wp} สูงถึง 20% แต่ก็ยังพบว่าข้อมูลที่ได้มี

ความถูกต้องและแม่นยำสูง เช่นกันและยังให้รายละเอียดมากกว่าการวิเคราะห์สารด้วยรังสีเอกซ์ในงานวิจัยทั่วไปด้วย

สำหรับข้อมูลที่จะได้จากโปรแกรม Rietveld ในการวิเคราะห์แผนภาพการเลี้ยวเบนของรังสีเอกซ์จะรวมไปถึงค่าคงที่แลตทิซที่แม่นยำ (precise lattice constants) ตำแหน่งของอะตอม (atomic position) ในหน่วยเซลล์ (unit cell) ซึ่งนำไปสู่การหาความยาวพันธะระหว่างอะตอมได้ ปริมาณของอะตอมในแต่ละตำแหน่ง (site occupancy) ซึ่งสามารถใช้ดูว่าสารที่ได้มีองค์ประกอบทางเคมี (chemical composition) หรือ ปริมาณสัมพัทธ์ (stoichiometry) ตามที่ต้องการหรือไม่ นอกจากนี้ยังสามารถใช้เช็คขนาดของผลึก (crystallite size) ปริมาณของความเครียด (strain) และลักษณะของการสั่นทางความร้อนของอะตอม (thermal parameter) ได้ ซึ่งในกรณีหลังสุดนี้จะส่งผลต่อสภาพการนำความร้อนของสารได้

อย่างไรก็ตาม วิธี Rietveld มีข้อจำกัดอยู่บ้างคือเมื่อเริ่มที่จะใช้โปรแกรม อย่างน้อยต้องรู้ว่าโครงสร้างผลึกคร่าวๆ ของวัสดุเป็นอย่างไร ในกรณีนี้สามารถหาข้อมูลได้จากการวิเคราะห์โครงสร้างของสารที่มีองค์ประกอบทางเคมีกล้วยๆ กันแล้วลองเทียบดู ถ้าหากว่าโปรแกรมไม่สามารถให้ค่า R ที่น้อยที่สุดได้หรือที่เรียกว่าไม่ converge ก็จะต้องเปลี่ยนโครงสร้างแล้วทำใหม่ ดังนั้น ในการวิเคราะห์ด้วยวิธีนี้ ค่าเริ่มต้นที่ให้แก่โปรแกรมจึงเป็นสิ่งสำคัญ สำหรับโปรแกรมที่จะนำมาใช้ในโครงสร้างวิจัยนี้ เรียกว่า General Structure Analysis System ซึ่งออกแบบโดย Allen C. Larson และ Robert B. Von Dreele [6] ผู้ทำงานใน Los Alamos National Laboratory, USA สำหรับโปรแกรมได้ถูกปรับให้ใช้งานกับระบบ Windows โดย Brian H. Toby [7] โดยผู้วิจัยได้เคยติดต่อและได้รับความอนุเคราะห์จากนักวิจัยทั้งสามท่านในการให้คำปรึกษามาแล้ว นอกจากนี้ ยังมีโปรแกรมอื่นที่สามารถนำมาใช้กับวิเคราะห์แบบ Rietveld ได้ เช่นกัน แต่จะไม่ขอกล่าวถึงในที่นี้

ตั้งแต่ในปี 1969 เป็นต้นมา เมื่อ Rietveld ได้เผยแพร่โปรแกรมที่ใช้ในการวิเคราะห์โครงสร้างผลึก พบร่วมกับผลงานตีพิมพ์จำนวนมากที่ใช้วิธีการเดียวกันนี้กับแผนภาพการเลี้ยวเบนของรังสีเอกซ์ โดยข้อมูลที่ได้ทำให้สามารถรู้ในเบื้องต้นเกี่ยวกับสารเคมีชนิดใหม่ที่ถูกสังเคราะห์ขึ้น การเปลี่ยนโครงสร้างของผลึกในสารละลายของแข็ง (solid solutions) การเกิดจุดบกพร่อง (defects) ในผลึกและลักษณะของผลึกที่เตรียมได้ เป็นต้น หลังจากที่รู้ข้อมูลเบื้องต้นเกี่ยวกับโครงสร้างผลึกแล้ว เมื่อนำไปใช้ร่วมกับการวัดสมบัติอื่น เช่น สมบัติทางแสงหรือไฟฟ้า จะทำให้การอภิปรายสมบัตินั้นๆ มีความแน่นอนและมีความเชื่อถือเพิ่มขึ้น [8-20] จากตัวอย่างงานวิจัยเหล่านี้ จะเห็นว่าวิธี Rietveld สามารถนำไปใช้งานใน

การวิเคราะห์ของโครงสร้างผลึกหลายชนิด ไม่ว่าจะเป็นโลหะชีเมนต์ วัสดุทางชีวภาพและสารประกอบออกไซด์ในรูปของผงหรือเซรามิก

ในส่วนของสารที่มีสมบัติทางเฟริโวอิเล็กทริกและเฟริโวอิเล็กทริกนั้น ได้มีการศึกษาโครงสร้างผลึกโดยการวิเคราะห์ด้วยวิธี Rietveld และ ซึ่งงานวิจัยส่วนใหญ่จะเน้นถึงสารประกอบที่มีตะกั่วเป็นองค์ประกอบเนื่องจากมีสมบัติทางเพียโซอิเล็กทริกที่ดี [21-28] ตัวอย่างเช่น Bertram et al ได้ศึกษาการเปลี่ยนของเฟลในระบบ $(1-x)\text{Pb}(\text{Zn}_{1/3}\text{Nb}_{2/3})\text{O}_3-\text{xPbTiO}_3$ โดยที่ $0.06 < x < 0.13$ โดยพบว่าในช่วงขององค์ประกอบทางเคมีนี้ มีสามเฟลป淳อยู่ด้วยกัน คือ โมโนคลินิก รวมโบเยอรอล และเตตราゴนอล โดยมีปริมาณสัมพัทธ์ต่างกันไปขึ้นอยู่กับค่า x [25] ในกรณีนี้ นับว่าการใช้ Rietveld สามารถนำมาใช้ประโยชน์ได้อย่างจริงจัง เนื่องจากการหาปริมาณเฟลจากแผนภาพเลี้ยวเบนของรังสีเอกซ์โดยใช้เฉพาะพิกของแบราก (Bragg's peaks) จะไม่สามารถหาค่าได้ใกล้เคียงกับความเป็นจริงในอีกรอบหนึ่ง คือ การศึกษาการเปลี่ยนโครงสร้างผลึกของ PbTiO_3 โดยอาศัยความดันสูงที่อุณหภูมิต่างๆ Sani et al พบร่วมกันว่า การเพิ่มความดันที่อุณหภูมิห้องทำให้โครงสร้างผลึกของสารตัวนี้เปลี่ยนจากเตตราゴนอลไปเป็นคิวบิก ซึ่งสอดคล้องกับสมบัติทางไฟฟ้าที่เปลี่ยนจากเฟริโวอิเล็กทริกเป็นพาราอิเล็กทริก พร้อมทั้งพบลักษณะของการเลื่อนตำแหน่งของอะตอมต่างๆ ภายในโครงสร้าง [29] ซึ่งปราศจากการวิเคราะห์ด้วย Rietveld จะไม่สามารถทำได้เลย

ส่วนวัสดุไร้สารตะกั่วนั้น การวิจัยจะเน้นวัสดุโดยอิเล็กทริกที่มีแบบเรียมไททาเนตเป็นฐาน [30-34] แต่ในการวิจัยหาระดุไร้สารตะกั่วที่มีสมบัติทางเพียโซอิเล็กทริกที่ดีพอที่จะนำมาใช้แทนวัสดุที่มีตะกั่วนั้น ในโครงการวิจัยนี้ จะเริ่มต้นจากการวิเคราะห์โครงสร้างผลึกของบิสมัลโซเดียมไททาเนต ($\text{Bi}_{0.5}\text{Na}_{0.5}\text{TiO}_3$) ซึ่งเป็นสารที่ได้มีการวิจัยในด้านสมบัติทางไดอิเล็กทริกและเพียโซอิเล็กทริกมากพอสมควร โดยนักวิจัยหลายคณะได้ระบุว่าสารนี้อาจจะมีสมบัติที่ดีพอที่จะมาแทนสารที่มีตะกั่วเป็นองค์ประกอบได้แต่อาจจะต้องอาศัยการเจือด้วยสารอื่น [36-39] อย่างไรก็ตาม ในงานวิจัยเหล่านี้ยังขาดการวิเคราะห์โครงสร้างผลึกโดยละเอียดอยู่อีกมาก

ดังนั้น ผู้วิจัยจึงเห็นว่าในปัจจุบัน การวิเคราะห์โครงสร้างผลึกของสารที่มี $\text{Bi}_{0.5}\text{Na}_{0.5}\text{TiO}_3$ เป็นฐานจากข้อมูลที่ได้จากการเลี้ยวเบนของรังสีเอกซ์ยังมีอยู่น้อย และแม้แต่ข้อมูลของสาร $\text{Bi}_{0.5}\text{Na}_{0.5}\text{TiO}_3$ บริสุทธิ์ที่เคยเป็นไฟล์มาตรฐานของ JCPDS ซึ่งระบุว่าสารนี้มีโครงสร้างผลึกเป็นรูมโบเยอรอลได้ถูกลบพื้นไปและถูกแทนที่ด้วยข้อมูลใหม่ซึ่งระบุว่าสารนี้มีโครงสร้างเป็นโมโนคลินิก (monoclinic) ซึ่งแตกต่างจากงานวิจัยส่วนใหญ่ที่ยังระบุว่าสารนี้มี X-ray diffraction pattern ที่มีโครงสร้างผลึกเป็นรูมโบ

ยีดรอต อย่างไรก็ตาม งานวิจัยโดย Jones et al [40] ในปี 2002 ชี้วิเคราะห์โครงสร้างผลึกของ $\text{Bi}_{0.5}\text{Na}_{0.5}\text{TiO}_3$ โดยวิธี neutron diffraction พบร่วมโครงสร้างผลึกเป็นรูมบิยีดรอต ดังนั้น การที่ผู้วิจัยจะได้ทำการวิเคราะห์โครงสร้างผลึกของสารนี้จากข้อมูลที่ได้จาก X-ray diffraction น่าจะมีประโยชน์ต่องานวิจัยที่เกี่ยวข้องกับสารชนิดนี้ หลังจากนั้นจะได้มีการวิเคราะห์ต่อเนื่องไปยังสารประกอบที่เป็นสารละลายของแข็งของ $\text{Bi}_{0.5}\text{Na}_{0.5}\text{Ti}_{1-x}\text{Zr}_x\text{O}_3$ ซึ่งมีองค์ประกอบคล้ายคลึงกับ $\text{PbTi}_{1-x}\text{Zr}_x\text{O}_3$ (PZT) โดยจากการวิจัยเบื้องต้น [41] พบร่วมปริมาณของ x สามารถถูกปรับเปลี่ยนในช่วงกว้าง ซึ่งทำให้สามารถศึกษาโครงสร้างผลึกไปพร้อมๆ กับสมบัติทางไฟฟ้า เช่นเดียวกับในกรณีของ PZT นอกจากนี้ ผู้วิจัยยังได้ศึกษาผลของการเติมสารเจือที่มีประจุต่างกัน เช่น Fe_2O_3 , NiO , MgO และ CoO เป็นต้น เพื่อศึกษาผลกระทบของสารเจือ acceptor เหล่านี้ที่มีต่อลักษณะโครงสร้างผลึก และสมบัติทางไฟฟ้าของบิสมัทโซเดียมไทด์เนต